

КРАТКИЕ СООБЩЕНИЯ

01:10
© 1992 г.*Журнал технической физики, т. 62, в. 11, 1992*К РАСЧЕТУ ПРОМЕЖУТОЧНЫХ ЛИНЕЙНЫХ И УГЛОВЫХ
ОГИБАЮЩИХ ПУЧКОВ ЗАРЯЖЕННЫХ ЧАСТИЦ

E.B.Шпак

В оптике заряженных частиц успешно применяется метод расчета, основанный на нахождении огибающих пучков заряженных частиц [1,2], представляющих собою границу пучка в реальном пространстве. Считается, что пучок локализован в фазовом пространстве, и находится огибающая, соответствующая данной граничной области значений фазовых переменных. В реальных пучках фазовая плотность не является постоянной. Такие пучки характеризуются в фазовом пространстве рядом поверхностей, соответствующих определенным значениям фазовой плотности. В тех случаях, когда движения в направлениях поперечных осей являются независимыми, достаточно знать диаграммы эмиттанса — наборы фазовых контуров, соответствующих постоянным значениям плотности в фазовых плоскостях xx' , yy' (или xv_x , yv_y). Введена декартова система координат x , y , z , ось z совмещена с главной оптической осью системы, штрихом обозначается производная по z .

Представляют интерес не только граничные огибающие для фазовых контуров (или поверхностей), соответствующие достаточно малому значению фазовой плотности, но и промежуточные огибающие, соответствующие отдельным контурам диаграмм эмиттанса (или фазовым поверхностям с постоянной плоскостью). Нахождение промежуточных огибающих, т.е. огибающих на различных уровнях фазовой плотности, дает значительно более полную информацию о токопрохождении, о структуре пучка при его движении. Дополнительную информацию дают промежуточные угловые огибающие, определяющие максимальные значения углов наклона траекторий частиц в пучке на заданном уровне фазовой плотности.

Наиболее распространенные распределения фазовой плотности в ионных пучках [1,3] можно аппроксимировать выражением

$$B(x, y, x', y') = \frac{B_{xy}}{\left[\left(\frac{x_0}{r_{x0}} \right)^p + \left(\frac{x'_0}{r'_{x0}} \right)^p + \varepsilon_x \right] \left[\left(\frac{y_0}{r_{y0}} \right)^p + \left(\frac{y'_0}{r'_{y0}} \right)^p + \varepsilon_y \right]}, \quad (1)$$

где $p = 2m/(2n-1)$, m и n — натуральные числа, B_{xy} , ε_x и ε_y — константы; при $x_0, y_0, x'_0, y'_0 \rightarrow 0$ $B = B_{xy}/(\varepsilon_x \varepsilon_y)$.

В полях, где движения в направлениях x и y являются независимыми, достаточно рассмотреть распределения в фазовых плоскостях xx' и yy' . В плоскости xx' при $z = z_0$

$$B(x, x') = \frac{B_x}{\left(\frac{x_0}{r_{x0}}\right)^p + \left(\frac{x'_0}{x'_I}\right)^p + \varepsilon_x}, \quad (2)$$

и пучок характеризуется рядом фазовых контуров с общим центром, которые являются изофотами в фазовой плоскости xx' (линиями равной фазовой плотности). Величины r_{x0} и x'_I характеризуют разброс начальных координат x_0 и углов наклона x'_0 на входе, безразмерный параметр $\varepsilon_x \neq 0$ определяет фазовую плотность в центре контуров; при $x_0 = x'_0 = 0$ она равна $B = B_x/\varepsilon_x$.

Полагая в выражении (2) $B(x, x')/B_x = \Delta$, после несложных преобразований для каждого значения Δ получим контур

$$\left(\frac{x_0}{\tilde{r}_{x0}}\right)^p + \left(\frac{x'_0}{\tilde{x}'_I}\right)^p = 1, \quad (3)$$

где $\tilde{r}_{x0} = r_{x0} \left(\frac{1}{\Delta} - \varepsilon_x\right)^{1/k}$, $\tilde{x}'_I = x'_I \left(\frac{1}{\Delta} - \varepsilon_x\right)^{1/k}$.

Линейные r_{px} и угловые Π_{px} огибающие параксиальных пучков для контуров вида (3) имеют вид [2]

$$r_{px} = \pm \left[(\tilde{r}_{x0} x_\beta)^k + (\tilde{x}'_I x_\alpha)^k \right]^{1/k}, \quad (4)$$

$$\Pi_{px} = \pm \left[(\tilde{r}_{x0} x'_\beta)^k + (\tilde{x}'_I x'_\alpha)^k \right]^{1/k}, \quad (5)$$

где

$$k = \frac{2m}{2m - 2n + 1},$$

x_α и x_β — линейно независимые решения системы уравнений параксиальных траекторий, удовлетворяющие следующим начальным условиям при $z = z_0$, $x_\beta = x'_\alpha = 1$, $x'_\beta = x_\alpha = 0$.

Таким образом, промежуточные огибающие зависят от вида распределения фазовой плотности, от линейно независимых решений x_α , x_β и от значения фазовой плотности в центре.

На рис. 1 в качестве примера приведены изофоты в плоскости xx' при $p = 4$, $\varepsilon_x = 0.1$, $r_{x0} = 0.03L$, $x'_I = 0.02$; $\Delta = B/B_x = 9.6$ (кривая 1), 6.0 (кривая 2), 0.91 (кривая 3). На рис. 2 приведены линейные, а на рис. 3 — угловые огибающие пучка в фокусирующей плоскости квадрупольной линзы при возбуждении линзы $\beta L = 0.9$ и тех же значениях Δ , что и изофоты на рис. 1. Номер огибающих соответствует номеру контура. Кроссовер пучка на входе находится на расстоянии $a = 2L$ от начала эффективного

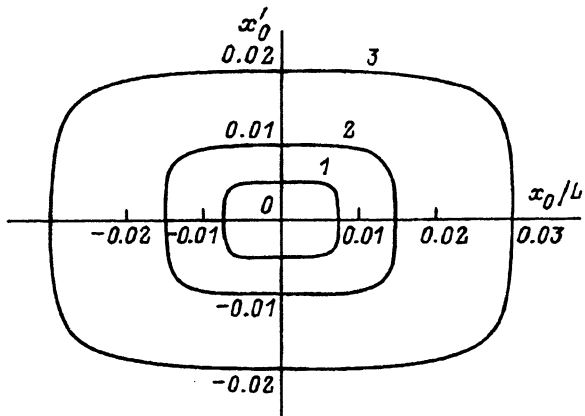


Рис. 1. Изофоты в фазовой плоскости для распределения плотности вида (1) при $p = 4$.

поля линзы. При расчете траекторий в квадрупольной линзе использовалась прямоугольная модель поля, L — эффективная длина линзы.

Метод огибающих особенно полезен при решении задач токопрохождения и для нахождения положения и размеров формируемого системой кроссовера. В первом случае наибольший интерес представляет нахождение максимальных значений линейных огибающих, во втором — их минимумов и определение угловых огибающих в области кроссовера на выходе.

Линейные огибающие на заданном уровне фазовой плотности имеют экстремум при

$$\frac{\partial r_{px}}{\partial z} = 0. \quad (6)$$

При положительном значении $\partial^2 r_{px} / \partial z^2$ они имеют минимум, при отрицательном — максимум. Учитывая то, что величина r_{px} для пучков с конечным эмиттансом не может быть равна нулю, из (4) и (6) получим, что положение экстремума определяется выражением

$$\left(\frac{r_{x0}}{x'_I} \right)^k = - \left(\frac{x_\alpha}{x_\beta} \right)^{k-1} \left(\frac{x'_\alpha}{x'_\beta} \right). \quad (7)$$

Все промежуточные огибающие при распределении фазовой плотности вида (2) имеют экстремум в одном и том же сечении $z = \text{const}$, так как в выражение (7) не входит параметр Δ .

Положение минимума угловых огибающих определим из условия

$$\frac{\partial \Pi_{px}}{\partial z} = 0, \quad \frac{\partial^2 \Pi_{px}}{\partial z^2} > 0. \quad (8)$$

Из (8) и (5) получим

$$\left(\frac{r_{x0}}{x'_I} \right)^k = - \left(\frac{x'_\alpha}{x'_\beta} \right)^{k-1} \frac{x''_\alpha}{x''_\beta}. \quad (9)$$

Для систем с постоянным потенциалом на оси решения x_α , x_β и их производные связаны соотношением

$$x'_\alpha x_\beta - x_\alpha x'_\beta = 1, \quad (10)$$

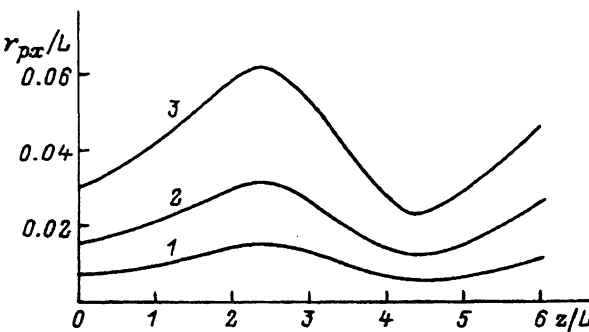


Рис. 2. Промежуточные линейные огибающие в фокусирующей плоскости квадрупольной линзы.

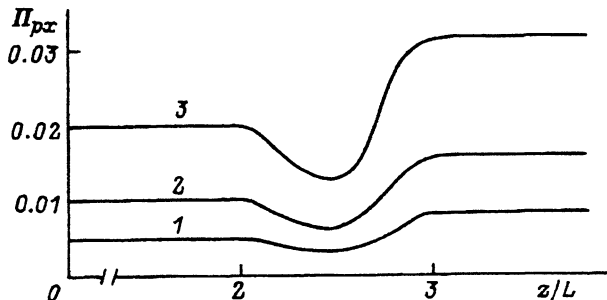


Рис. 3. Промежуточные угловые огибающие в квадрупольной линзе.

продифференцировав которое, получим

$$\frac{x''_\alpha}{x''_\beta} = \frac{x_\alpha}{x_\beta}. \quad (11)$$

Поэтому выражение (9) преобразуется к виду

$$\left(\frac{r_{x0}}{x'_I} \right)^k = - \left(\frac{x'_\alpha}{x'_\beta} \right)^{k-1} \frac{x_\alpha}{x_\beta}. \quad (12)$$

Рассмотрим в качестве примера фокусировку пучка квадрупольной линзой. В фокусирующей плоскости линзы обычно максимум линейных и минимум угловых огибающих находятся в области поля линзы. При этом решении x_α , x_β и их производные равны

$$x_\alpha = a \cos \beta \tilde{z} + \frac{1}{\beta} \sin \beta \tilde{z}, \quad x_\beta = \cos \beta \tilde{z}, \\ x'_\alpha = -a\beta \sin \beta \tilde{z} + \cos \beta \tilde{z}, \quad x'_\beta = -\beta \sin \beta \tilde{z}, \quad (13)$$

где $\tilde{z} = z - a$.

Начало координат совмещено с кроссовером пучка на входе. Для нахождения положения максимума линейных огибающих нужно подставить (13) в (7) и определить z . Для рассмотренного выше случая (рис. 2) $z = 2.36L$. Минимум угловых огибающих определяется решением относительно z уравнения (12), в которое подставлены выражения (13). Для того же примера он находится в плоскости $z = 2.49L$ (рис. 3).

Минимум линейных огибающих, если он находится в области за линзой, определяется тем же выражением (7), в которое подставлены выражения x_α , x_β , x'_α , x'_β в свободном от поля пространстве за линзой. После несложных преобразований получим

$$z = \frac{x_{\beta 1} A + x_{\alpha 1}}{x'_{\beta 1} A + x'_{\alpha 1}} + a + L, \quad (14)$$

где

$$A = \left(\frac{r_{x0}}{x'_I} \right)^{k/k-1} \cdot \left(\frac{x'_\beta}{x'_\alpha} \right)^{1/1-k},$$

$x_{\alpha 1}$, $x_{\beta 1}$, x'_α , x'_β — линейно независимые решения и их производные на выходе эффективного поля линзы, которые определяются формулами (13) при $\tilde{z} = L$.

Для рассмотренного выше примера кроссовер астигматичного пучка, совпадающий с минимумом промежуточных огибающих, находится в плоскости $z = 4.31L$.

Список литературы

- [1] Лоусон Дж. Физика пучков заряженных частиц. Пер. с англ. М.: Мир, 1980. 438 с.
- [2] Шпак Е.В., Гаевилов Е.И. // ЖТФ. 1982. Т. 52. Вып. 6. С. 1188–1193.
- [3] Fink J.H., Schumacher B.W. // Nucl. Instr. Meth. 1975. Vol. 130. N 2. P. 353–358.

Физико-технический институт им. А.Ф. Иоффе
Санкт-Петербург

Поступило в Редакцию
13 января 1992 г.

01;07
© 1992 г.

Журнал технической физики, т. 62, в. 11, 1992

ЭВОЛЮЦИЯ ОГИБАЮЩЕЙ ФЕМТОСЕКУНДНОГО СВЕТОВОГО ИМПУЛЬСА В ВОЛОКОННОМ СВЕТОВОДЕ

B.P. Земсков

Введение

Уравнение для эволюции светового импульса с длительностью ~ 10 фс имеет вид обобщенного нелинейного уравнения Шредингера [1]

$$i\partial_z q + \partial_t^2 q + 2|q|^2 q + 2ia\partial_t(|q|^2 \cdot q) = 0. \quad (1)$$

Здесь z — безразмерная координата вдоль оси световода; v_r — групповая скорость; $t = (T - z/v_r)/\tau_0$; T , z — размерные время и координата, τ_0 — длительность импульса; величина q с точностью до постоянной определяет амплитуду огибающей импульса, a — постоянная.

Подстановкой

$$q = \sqrt{a} \exp(-iz/a^2 + it/a) \cdot \varphi(t - 2z/a, z)$$